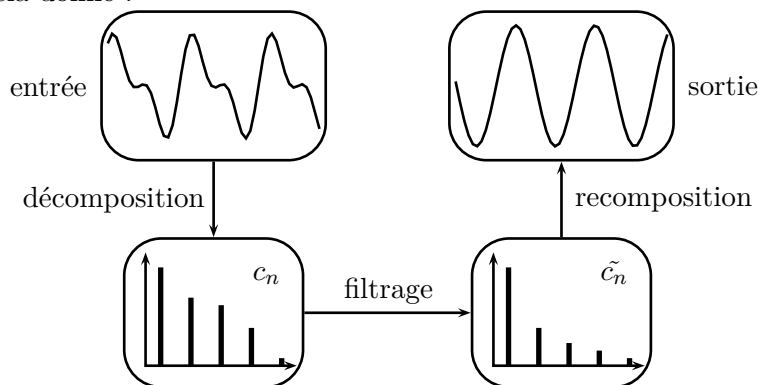


Nous allons étudier une application des séries de fonctions que vous allez étudier cette année.

Courant du XVIII^{ème}S l'étude des cordes vibrantes lance la résolution de problème à l'aide d'une superposition de fonctions sinusoïdales. Peu après, entre 1807 et 1822, Fourier proposa d'utiliser des séries de fonctions pour résoudre l'équation de la chaleur. Néanmoins, il n'avait pas cherché les hypothèses nécessaires à la validité de sa théorie. En 1829, Dirichlet délimita les conditions d'utilisation des séries de Fourier et en 1848 Wilbraham découvrit le phénomène de Gibbs (qui sera redécouvert 51 ans plus tard par Gibbs).

Il est parfois difficile d'appliquer une opération (*e.g.* un filtrage) sur un signal d'entrée dans sa globalité. Une stratégie est alors de le décomposer comme une "somme de signaux", appliquer la-dite opération et reconstruire le signal qui devient le signal de sortie.

Schématiquement cela donne :



Le but du TP est :

- ◇ appréhender la décomposition et reconstitution d'un signal
- ◇ appréhender le phénomène de Gibbs
- ◇ essayer un filtre passe-bas et appréhender ses conséquences sur le signal

I Décomposition en série de Fourier et reconstitution

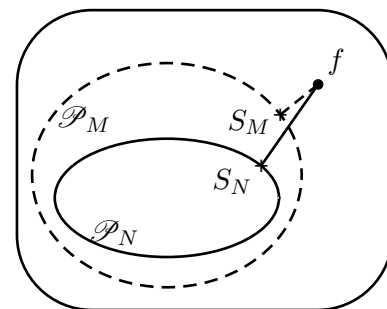
On considère une fonction f à valeur de \mathbb{R} dans \mathbb{R} , T -périodique et continue par morceaux ; *i.e.* $f \in \mathcal{C}\mathcal{M}_T(\mathbb{R}, \mathbb{R})$.

Le but est d'approximer la fonction f à l'aide d'une somme de fonctions trigonométriques de fréquence de plus en plus élevée.

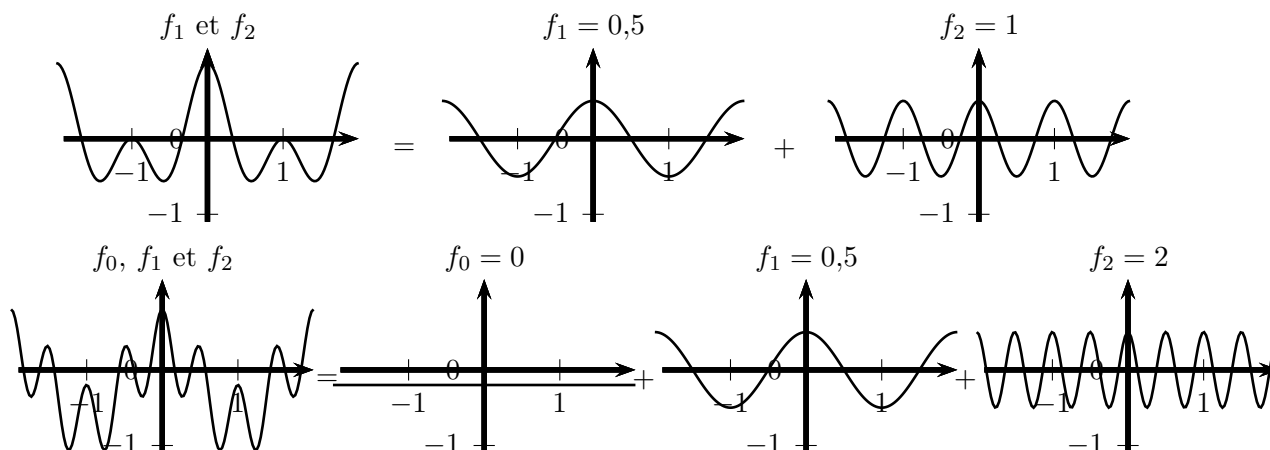
L'idée est de projeter orthogonalement la fonction f sur un espace de fonctions trigonométriques simples \mathcal{P}_N .

Si l'espace \mathcal{P}_M est plus grand que \mathcal{P}_N , le projeté orthogonal S_M est plus proche de f que ne l'est S_N .

On muni $\mathcal{C}\mathcal{M}_T(\mathbb{R}, \mathbb{R})$ du produit scalaire $\langle f, g \rangle = \frac{1}{T} \int_a^{a+T} f(t)g(t)dt$. Par périodicité de f et g , on peut prendre n'importe quel a .



1 Exemples graphiques



2 Coefficients trigonométriques de Fourier

Sous certaines hypothèses de continuité de f , nous avons : $f(t) = \frac{a_0}{2} + \sum_{n \geq 1} a_n \cos\left(\frac{2\pi n}{T}t\right) + \sum_{n \geq 1} b_n \sin\left(\frac{2\pi n}{T}t\right)$

$$\text{où } \begin{cases} a_n = \frac{2}{T} \int_a^{a+T} f(t) \times \cos\left(\frac{2\pi n}{T}t\right) dt \\ b_n = \frac{2}{T} \int_a^{a+T} f(t) \times \sin\left(\frac{2\pi n}{T}t\right) dt \end{cases}$$

Propriété 1

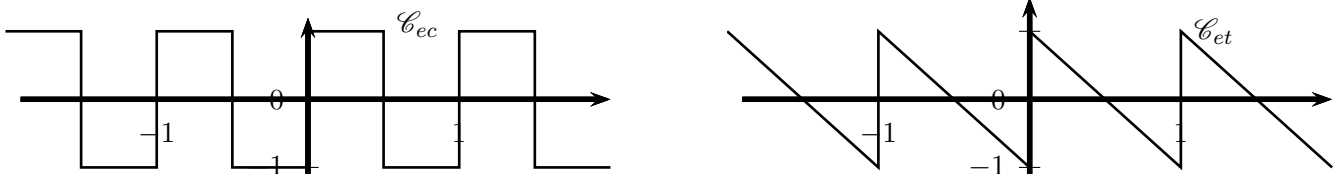
$\frac{a_0}{2}$ est la valeur moyenne de f sur une période T ,

Si f est paire alors $\forall n \in \mathbb{N}^*$, $b_n = 0$ et si f est impaire alors $\forall n \in \mathbb{N}^*$, $a_n = 0$.

Démonstration :

□

Dans ce TP, nous allons étudier les deux signaux d'entrées périodiques ci-dessous.



1. Définir les fonctions entrée carrée ec et entrée triangulaire et , donner leur parité et leur valeur moyenne,
2. calculer leurs coefficients trigonométriques de Fourier,
3. représenter leur spectre d'amplitude pour $f = \frac{1}{T} < 10$.

rq : on représente le spectre d'amplitude du signal graphiquement en représentant les amplitudes des fonctions trigonométriques selon leur fréquence.

3 Implémentation

Vous pourrez vous inspirer du fichier `CPGE-Info-Filtrage-TP-eleve.py`.

En préambule, on n'oubliera pas d'importer les bibliothèques utiles, à savoir :

```
import numpy as np
import matplotlib.pyplot as plt
from math import cos, sin, pi
from scipy.integrate import quad
from cmath import phase
```

On travaillera sur l'intervalle $[-1,2; 1,2]$ avec 1000 points de discrétisation.

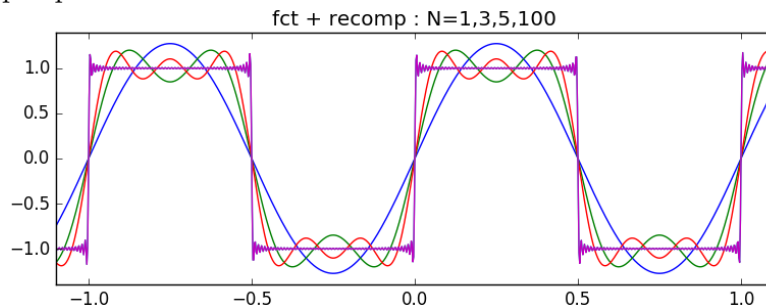
4. Définir un vecteur `vt` prenant mille points sur notre intervalle d'étude.
5. définir la fonction `carre(t)` sous python qui renvoie le signal carré d'amplitude 1 et de période 1,
6. définir une fonction `vectImage_fct(vt, fct)` qui renvoie sous forme de vecteur toutes les images de `vt` par `fct`,
7. représenter graphiquement la fonction `carree(t)` sur $[-1,2; 1,2]$.
8. définir une fonction `sin_fct(t, n, T, fct)` qui renvoie $\frac{2}{T} \times fct(t) \times \sin\left(\frac{2\pi n}{T}t\right)$ puis une fonction `coeff_Fourier_bn(T, n, fct)` qui renvoie $b_n(f)$ à l'aide de `quad`,

La fonction `quad(f, a, b, args=())` du module `scipy.integrate` permet d'intégrer numériquement une fonction f sur $[a; b]$. Si la fonction f nécessite des arguments supplémentaires, on peut les lui fournir à l'aide du champ `args`. `quad` renvoie un couple de réels $[val, err]$ où val est la valeur numérique de l'intégrale et err une estimation de l'erreur commise.

Ainsi `quad(sin_fct, -T/2, T/2, args=(n,T,fct)) [0]` renverra la valeur de b_n .

Pour plus d'information [<https://docs.scipy.org/doc/scipy/reference/generated/scipy.integrate.quad.html>].

9. définir un vecteur `vn` prenant les valeurs entières jusqu'à 100,
 10. à l'aide de `plot` représenter le spectre d'amplitude comprenant les 10 premières fréquences et comparer à votre résultat théorique. Que met-on en abscisse? en ordonnée? On pourra utiliser `plt.bar(left=x, height=y, width=1)` [http://matplotlib.org/api/pyplot_summary.html].
 11. définir une fonction `fct_reconstituee_bn(t, coeff)` qui renvoie le développement de la série de Fourier $S_N(f)$ de coefficients `coeff` évaluée en `t`.
 12. représenter graphiquement `fct_reconstituee_bn(t, coeff)` ($S_N(f)$) pour $N \in \{1,3,5,100\}$. Évaluer numériquement le phénomène de Gibbs (on pourra calculer une valeur moyenne et maximale). Comparez avec la valeur limite théorique du maximum $\approx 1,178979$.
- Vous devriez obtenir quelque chose de semblable à cela :



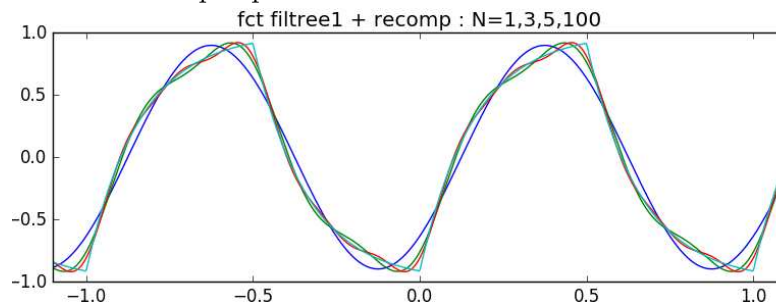
II Filtrage et reconstitution

1 Fonction de transfert et implémentation

On rappelle qu'un filtre passe-bas du 1^{ère} ordre de gain K et de fréquence de coupure f_c a pour fonction de transfert $H(f) = \frac{K}{1 + j \frac{f}{f_c}}$.

13. définir la fonction de transfert `Hpb(f,fc)` d'un filtre passe-bas d'ordre 1 et de gain unitaire (rq : $j \leftrightarrow 1j$).
14. définir une fonction `coeff_filtres(coeff, fctH, fc)` qui renvoie les coefficients et les décalages de phase après filtrage par `fctH` (on prendra $f_c = 1$). Représenter le spectre d'amplitude du signal de sortie.
15. définir une fonction `fct_filtree_reconstituee_bn(t, modul, faz, N)` qui reconstitue la sortie tronquée à l'ordre N à partir des coefficients b_n et des phases (*i.e.* renvoie $S_N(\tilde{f})(t)$ si $a_n = 0$). Représenter la fonction filtrée et reconstituée pour différentes valeurs de troncature $N \in \{1,3,5,100\}$.
16. Faites de même pour différentes fréquences de coupure $f_c \in \{\frac{1}{10}, 1, 10\}$. Comment semble se comporter un filtre passe-bas lorsque la f_c est faible? est élevée?

Avec `Hpb(f,1)`, vous devriez obtenir quelque chose de semblable à cela :



2 Suite...

En adaptant le code déjà écrit, faire la même implémentation pour la fonction triangulaire et/ou un filtre passe-haut du 1^{er} ordre de gain unitaire (pour rappel, $Hph(f,fc) = \frac{Kj \frac{f}{f_c}}{1 + j \frac{f}{f_c}}$).